

Elastomerstern

Der Elastomerstern ist aus speziellem Polyurethan gefertigt, das große Vorteile gegenüber marktüblichen Standardpolyurethanen aufweist. Es ist sehr gut alterungs- und hydrolysebeständig (daher auch für Einsatz in tropischen Klimaten geeignet) und außerdem ermüdungsfrei und abriebbeständig. Es hat hervorragende Dämpfungseigenschaften und eine gute Beständigkeit

gegenüber den meisten Chemikalien, Säuren, Ölen und Ozon. Sonderausführung zur Erzielung spezieller Eigenschaften hinsichtlich der Einsatztemperaturen oder spezieller chemischer Einflüsse sind lieferbar.

| Standard Elastomersterne | | | | | |
|--------------------------|-------|-------------|-----------------------------|----------------|--|
| Härte (Shore) | Farbe | Werkstoff | zulässige Temperaturen [°C] | | Anwendungen |
| | | | dauerhaft | Spitze | |
| 92 Sh A | Gelb | Polyurethan | - 40 bis + 90 | - 50 bis + 120 | • mittlere Leistungen bei den meisten industriellen Anwendungen |
| 98 Sh A | Rot | Polyurethan | - 30 bis + 90 | - 40 bis + 120 | • hohe Momente, geringe Winkelabweichungen, hohe Drehsteifigkeit |
| 64 Sh D | Grün | Polyurethan | - 30 bis + 110 | - 30 bis + 130 | • Dämpfungselemente in Verbrennungskraftmaschinen |

| Elastomersterne für Sonderanwendungen | | | | | |
|---------------------------------------|--------|-------------|-----------------------------|----------------|--|
| Härte (Shore) | Farbe | Werkstoff | zulässige Temperaturen [°C] | | Anwendungen |
| | | | dauerhaft | Spitze | |
| 94 Sh A-T | Orange | Polyurethan | - 50 bis + 110 | - 60 bis + 130 | • Verbrennungskraftmaschinen / hoch dynamische Anwendungen / hohe Dämpfung |
| 64 Sh D-H | Grün | Hytrel | - 50 bis + 110 | - 60 bis + 150 | • Sonderanwendungen / hohe Drehsteifigkeit / hohe Temperaturen |
| PA | Weiß | Polyurethan | - 20 bis + 110 | - 30 bis + 150 | • hohe Drehsteifigkeit / hohe Temperaturen / gute Beständigkeit |

TRASCO® Kupplungsauslegung nach DIN 740/2

TRASCO®

TRASCO® Kupplungen werden nach DIN 740/2 ausgelegt. Die Auswahl muß so erfolgen, das das max. übertragbare Drehmoment im Betrieb niemals überschritten wird.

Die Auswahl muß alle nachfolgend aufgelisteten Bedingungen berücksichtigen.

1) Ermittlung des Nennmoments

Das Nennmoment der Kupplung muß größer oder gleich sein wie das Nennmoment des Antriebs x Sicherheitsfaktor für die Temperatur.

$$T_{KN} \geq T_N \cdot S_\theta \quad [\text{Nm}]$$

Zur Beachtung:
$$T_N = 9550 \frac{P_N}{n} \quad [\text{Nm}]$$

Hier ist P_N die Nennleistung des Motors in kW.

2) Ermittlung des max. Moments

Das max. Moment der Kupplung muß größer oder gleich sein wie das Anlaufmoment T_s x Sicherheitsfaktoren S_θ, S_z, S_u wobei S_u jeweils der größere Wert der treibenden oder getriebenen Seite ist.

$$T_{Kmax} \geq T_s \cdot S_\theta \cdot S_z \cdot S_u \quad [\text{Nm}]$$

3) Ermittlung des Moments bei Lastumkehr

Bei Anwendungen mit Lastumkehr muß berücksichtigt werden:

$$T_{KW} \geq T_w \cdot S_\theta \quad [\text{Nm}]$$

darin ist T_{kw} = Umkehrmoment (Wechseldrehmoment), das die Kupplung übertragen kann, und T_w = Wechseldrehmoment des Antriebs.

Bei Antrieben mit starken Drehmomentstößen wie z.B. Kolbenkompressoren oder Verbrennungsmaschinen sollten diese besonders berücksichtigt werden, um eine korrekte Funktion der Kupplung zu gewährleisten. Bitte fordern Sie unsere Beratung an.

| | | | | | |
|-------------------------|------------------------------|------------------|-------------------------|---------|---------|
| Stoßfaktor | Stoßbelastung | | S_u | | |
| | leicht | | 1,4 | | |
| | mittel | | 1,5 | | |
| | schwer | | 1,8 | | |
| Temperaturfaktor | T (°C) | -30°C / +30°C | +40°C | +60°C | +80°C |
| | S_θ | 1 | 1,2 | 1,4 | 1,8 |
| | Anlauffaktor | Anläufe/h | 0÷100 | 101÷200 | 201÷400 |
| | S_z | 1 | 1,2 | 1,4 | 1,6 |

Überprüfung der Welle – Nabe Verbindung

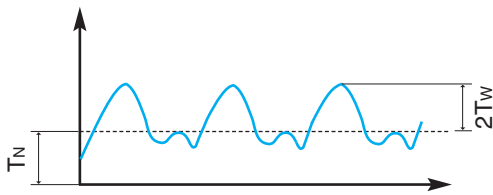
Die Welle – Nabe Verbindung muß in jedem Falle vom Anwender überprüft werden. Wichtig ist, daß das max. auftretende Drehmoment des Antriebs kleiner ist als das von der Welle – Nabe Verbindung übertragbare Drehmoment.

Bei einer Paßfederverbindung muß die Festigkeit des Nabenwerkstoffs daraufhin überprüft werden, ob er die von der Paßfeder übertragene Kraft übertragen kann.

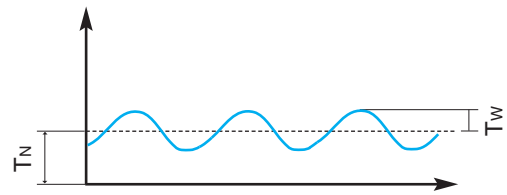
| | | | |
|--|----|--|-------------------|
| T_{KN} übertragbares Nenn Drehmoment | Nm | S_θ Temperaturfaktor | |
| T_{Kmax} max. übertragbares Drehmoment | Nm | S_z Anlauffaktor | |
| T_{KW} übertragbares Wechseldrehmoment | Nm | S_u Anlauffaktor | |
| T_N Nennmoment der Antriebsmaschine | Nm | P_N Nennleistung der Arbeitsmaschine | kW |
| T_s Spitzendrehmoment der Antriebsmaschine | Nm | n Drehzahl | min ⁻¹ |
| T_w Wechseldrehmoment der Antriebsmaschine | Nm | | |

Art der Belastung

wechselnd



harmonisch

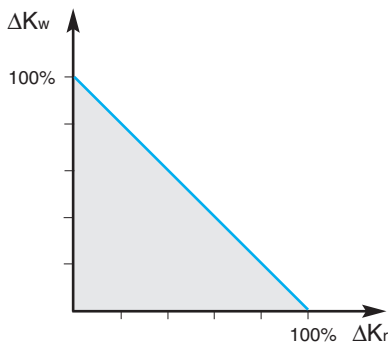


Lageabweichungen

| Type | ΔK_{aP} [mm] | ΔK_{aS} [mm] | ΔK_r [mm] | ΔK_w [°] |
|---------|----------------------|----------------------|-------------------|------------------|
| 19/24 | 1,2 | - | 0,20 | 1,30 |
| 24/32 | 1,4 | 1,1 | 0,22 | 1,30 |
| 28/38 | 1,5 | 1,2 | 0,25 | 1,30 |
| 38/45 | 1,8 | 1,4 | 0,28 | 1,30 |
| 42/55 | 2,0 | 1,6 | 0,32 | 1,30 |
| 48/60 | 2,1 | 1,7 | 0,36 | 1,30 |
| 55/70 | 2,2 | 1,8 | 0,38 | 1,30 |
| 65/75 | 2,6 | 2,0 | 0,42 | 1,30 |
| 75/90 | 3,0 | 2,4 | 0,48 | 1,30 |
| 90/100 | 3,4 | 2,8 | 0,50 | 1,30 |
| 100/110 | 3,8 | 3,0 | 0,52 | 1,30 |
| 110/125 | 4,2 | 3,2 | 0,55 | 1,30 |
| 125/145 | 4,6 | 3,4 | 0,60 | 1,30 |

$n=1500 \text{ min}^{-1}$

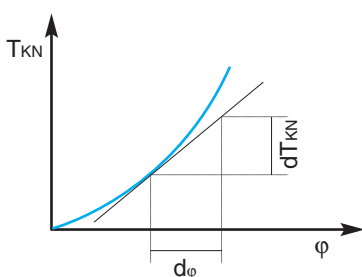
Die Tabellenwerte für radiale und Winkelabweichungen müssen korrigiert werden, wenn beide zusammen vorliegen. Die Summe der Quotienten der tatsächlichen Abweichungen (Index A) zu den zulässigen Tabellenwerten muß kleiner oder gleich 1 sein.



$$\frac{\Delta K_{rA}}{\Delta K_r} + \frac{\Delta K_{wA}}{\Delta K_w} \leq 1$$

| | | |
|-----------------|-------------------------------------|----|
| ΔK_{aP} | max. zul. axiale Abweichung Typ "P" | mm |
| ΔK_{aS} | max. zul. axiale Abweichung Typ "S" | mm |
| ΔK_r | max. zul. radiale Abweichung | mm |
| ΔK_w | max. zul. Winkelabweichung | ° |

Dynamische Torsionssteifigkeit



Dynamische Torsionssteifigkeit

Die dynamische Torsionssteifigkeit C_{Tdyn} ist die erste Ableitung der Funktion des Nennmomentes einer Kupplungshälfte über dem Verdrehwinkel gegenüber der zweiten Kupplungshälfte. Generell ist dieser Wert C_{Tdyn} größer als C_T und ist abhängig von der Belastungsart der Kupplung.

Technische Leistungsdaten

Die Leistungsdaten in der Tabelle gelten für alle TRASCO® Ausführungen in Verbindung mit dem jeweiligen Elastomerstern bei korrekter Kupplungsauslegung.

Bei speziellen Einsatzbedingungen wie z.B. hoher chemischer Beanspruchung sind Elastomersterne aus Sondermaterialien lieferbar. Bitte wenden Sie sich an unsere Anwendungstechnik.

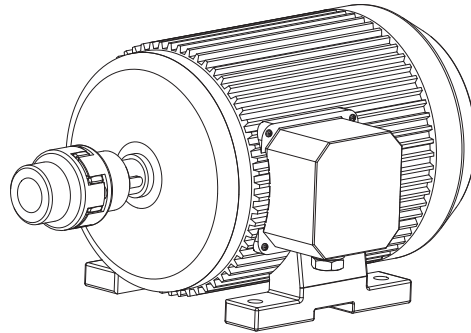
| Elastomerstern - 92 Shore A – GELB | | | | | | | | | | | | | | | |
|------------------------------------|---|----------------------|-------|-------|-------|-------|-------|-------|-------|-------|--------|--------|--------|--------|--------|
| Technische Daten | | | Type | | | | | | | | | | | | |
| | | | 19/24 | 24/32 | 28/38 | 38/45 | 42/55 | 48/60 | 55/70 | 65/75 | 75/90 | 90/100 | 100* | 110* | 125* |
| Moment | T _{KN} | [Nm] | 10 | 35 | 95 | 190 | 265 | 310 | 410 | 625 | 1280 | 2400 | 3300 | 4800 | 6650 |
| | T _{Kmax} | [Nm] | 20 | 70 | 190 | 380 | 530 | 620 | 820 | 1250 | 2560 | 4800 | 6600 | 9600 | 13300 |
| | T _{KW} | [Nm] | 2,7 | 9 | 25 | 49 | 69 | 81 | 107 | 163 | 333 | 624 | 858 | 1248 | 1729 |
| max. Drehzahl | n (v=30m/s) | [min ⁻¹] | 14000 | 10600 | 8500 | 7100 | 6000 | 5600 | 4750 | 4250 | 3550 | 2800 | 2500 | 2240 | 2000 |
| | n (v=40m/s) | [min ⁻¹] | 19000 | 14000 | 11800 | 9500 | 8000 | 7100 | 6300 | 5600 | 4750 | 3750 | 3350 | 3000 | 2650 |
| dyn. Torsionssteifigkeit | C _{Tdin} (1 T _{KN}) | [Nm/rad] | 1280 | 4860 | 10900 | 21050 | 23740 | 36700 | 50720 | 97130 | 113320 | 190090 | 253080 | 311610 | 474960 |
| | C _{Tdin} (0,75 T _{KN}) | [Nm/rad] | 1050 | 3980 | 8940 | 17260 | 19470 | 30090 | 41590 | 79650 | 92920 | 155870 | 207530 | 255520 | 389390 |
| | C _{Tdin} (0,5 T _{KN}) | [Nm/rad] | 800 | 3010 | 6760 | 13050 | 14720 | 22750 | 31450 | 60220 | 70260 | 117860 | 156910 | 193200 | 294410 |
| | C _{Tdin} (0,25 T _{KN}) | [Nm/rad] | 470 | 1790 | 4010 | 7740 | 8730 | 13490 | 18640 | 35700 | 41650 | 69860 | 93010 | 114520 | 174510 |
| Torsionswinkel | φ (T _{KN}) | (°) | 3,2° | | | | | | | | | | | | |
| | φ (T _{Kmax}) | (°) | 5° | | | | | | | | | | | | |
| Dämpfungsfaktor | Ψ | (-) | 0,80 | | | | | | | | | | | | |
| Resonanzfaktor | V _R | (-) | 7,90 | | | | | | | | | | | | |

*= 95 Sh A

| Elastomerstern - 98 Sh A - ROT | | | | | | | | | | | | |
|--------------------------------|---|----------------------|-------|-------|-------|-------|-------|-------|-------|--------|--------|--------|
| Technische Daten | | | Type | | | | | | | | | |
| | | | 19/24 | 24/32 | 28/38 | 38/45 | 42/55 | 48/60 | 55/70 | 65/75 | 75/90 | 90/100 |
| Moment | T _{KN} | [Nm] | 17 | 60 | 160 | 325 | 450 | 525 | 680 | 950 | 1950 | 3600 |
| | T _{Kmax} | [Nm] | 34 | 120 | 320 | 650 | 900 | 1050 | 1250 | 1900 | 3900 | 7200 |
| | T _{KW} | [Nm] | 4,4 | 16 | 42 | 85 | 117 | 137 | 178 | 245 | 500 | 936 |
| max. Drehzahl | n (v=30m/s) | [min ⁻¹] | 14000 | 10600 | 8500 | 7100 | 6000 | 5600 | 4750 | 4250 | 3550 | 2800 |
| | n (v=40m/s) | [min ⁻¹] | 19000 | 14000 | 11800 | 9500 | 8000 | 7100 | 6300 | 5600 | 4750 | 3750 |
| dyn. Torsionssteifigkeit | C _{Tdin} (1 T _{KN}) | [Nm/rad] | 2920 | 9930 | 26770 | 48570 | 54500 | 65290 | 94970 | 129510 | 197500 | 312200 |
| | C _{Tdin} (0,75 T _{KN}) | [Nm/rad] | 2390 | 8140 | 21950 | 39830 | 44690 | 53540 | 77880 | 106200 | 161950 | 256000 |
| | C _{Tdin} (0,5 T _{KN}) | [Nm/rad] | 1810 | 6160 | 16600 | 30110 | 33790 | 40480 | 58880 | 80300 | 122450 | 193560 |
| | C _{Tdin} (0,25 T _{KN}) | [Nm/rad] | 1070 | 3650 | 9840 | 17850 | 20030 | 24000 | 34900 | 47600 | 72580 | 114730 |
| Torsionswinkel | φ (T _{KN}) | (°) | 3,2° | | | | | | | | | |
| | φ (T _{Kmax}) | (°) | 5° | | | | | | | | | |
| Dämpfungsfaktor | Ψ | (-) | 0,80 | | | | | | | | | |
| Resonanzfaktor | V _R | (-) | 7,90 | | | | | | | | | |

| Elastomerstern - 64 Sh D - GRÜN | | | | | | | | | | | | |
|---------------------------------|---|----------------------|-------|-------|-------|-------|-------|-------|--------|--------|--------|--------|
| Technische Daten | | | Type | | | | | | | | | |
| | | | 19/24 | 24/32 | 28/38 | 38/45 | 42/55 | 48/60 | 55/70 | 65/75 | 75/90 | 90/100 |
| Moment | T _{KN} | [Nm] | 21 | 75 | 200 | 405 | 560 | 655 | 825 | 1175 | 2410 | 4500 |
| | T _{Kmax} | [Nm] | 42 | 150 | 400 | 810 | 1120 | 1310 | 1650 | 2350 | 4820 | 9000 |
| | T _{KW} | [Nm] | 5,5 | 19,5 | 52 | 105 | 145 | 170 | 215 | 305 | 625 | 1170 |
| max. Drehzahl | n (v=30m/s) | [min ⁻¹] | 14000 | 10600 | 8500 | 7100 | 6000 | 5600 | 4750 | 4250 | 3550 | 2800 |
| | n (v=40m/s) | [min ⁻¹] | 19000 | 14000 | 11800 | 9500 | 8000 | 7100 | 6300 | 5600 | 4750 | 3750 |
| dyn. Torsionssteifigkeit | C _{Tdin} (1 T _{KN}) | [Nm/rad] | 5350 | 15110 | 27520 | 70150 | 79860 | 95510 | 107920 | 151090 | 248220 | 674520 |
| | C _{Tdin} (0,75 T _{KN}) | [Nm/rad] | 4390 | 12390 | 22570 | 57520 | 65490 | 78320 | 88500 | 123900 | 203540 | 553110 |
| | C _{Tdin} (0,5 T _{KN}) | [Nm/rad] | 3320 | 9370 | 17060 | 43490 | 49520 | 59220 | 66910 | 93680 | 153900 | 418200 |
| | C _{Tdin} (0,25 T _{KN}) | [Nm/rad] | 1970 | 5550 | 10120 | 25780 | 29350 | 35100 | 39660 | 55530 | 91220 | 247890 |
| Torsionswinkel | φ (T _{KN}) | (°) | 2,5° | | | | | | | | | |
| | φ (T _{Kmax}) | (°) | 3,6° | | | | | | | | | |
| Dämpfungsfaktor | Ψ | (-) | 0,75 | | | | | | | | | |
| Resonanzfaktor | V _R | (-) | 8,50 | | | | | | | | | |

TRASCO® Kupplungen für Normmotoren nach IEC standards (Elastomerstern 92 Shore A)

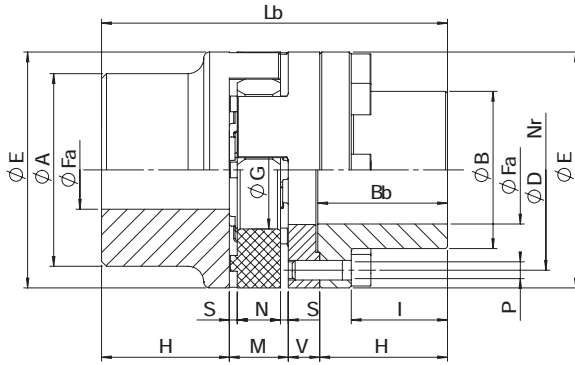


| Type | 3000 [1/min] | | | | 1500 [1/min] | | | | 1000 [1/min] | | | | 750 [1/min] | | | | d x l [mm] | | | | | |
|-------|------------------------|------------------------|-------|-------|------------------------|------------------------|-------|--------|------------------------|------------------------|-------|-------|------------------------|------------------------|-------|--------|---------------|--------------------|--------|--------|--------|-----|
| | P _N [kW] | T _N [Nm] | Type | K | P _N [kW] | T _N [Nm] | Type | K | P _N [kW] | T _N [Nm] | Type | K | P _N [kW] | T _N [Nm] | Type | K | 2 polig | 4 - 6 - 8 polig | | | | |
| 80 | 0,75 | 2,5 | 19/24 | 9,2 | 0,55 | 3,7 | 19/24 | 6,2 | 0,37 | 3,9 | 19/24 | 5,8 | 0,18 | 2,5 | 19/24 | 9,2 | 19x40 | | | | | |
| | 1,1 | 3,7 | | 6,2 | 0,75 | 5,1 | | 4,5 | 0,55 | 5,8 | | 3,9 | 0,25 | 3,5 | | 6,5 | | | | | | |
| 90 S | 1,5 | 5 | | 4,6 | 1,1 | 7,5 | | 3 | 0,75 | 8 | | 2,8 | 0,37 | 5,3 | | 2,9 | 24x50 | | | | | |
| 90 L | 2,2 | 7,4 | | 3,1 | 1,5 | 10 | | 2,3 | 1,1 | 12 | | 6,6 | 0,55 | 7,9 | | 5,3 | | | 0,75 | 11 | 7,2 | |
| 100 L | 3 | 9,8 | 24/32 | 8,1 | 2,2 | 15 | 24/32 | 5,3 | 1,5 | 15 | 24/32 | 5,3 | 1,1 | 16 | 24/32 | 5 | 28x60 | | | | | |
| 112 M | | | | 4 | 13 | 6,1 | | 4 | | | | 27 | 2,9 | 2,2 | | 22 | | | 3,6 | 1,5 | 21 | 3,8 |
| 132 S | 5,5 | 18 | | 28/38 | 12,7 | 5,5 | | 36 | 28/38 | 6,3 | | 3 | 30 | 28/38 | | 7,6 | 2,2 | 30 | 28/38 | 7,6 | 38x80 | |
| | 7,5 | 25 | | | 9,2 | | | | | 4,6 | | | | | | 4 | | | | 40 | | |
| 132 M | | | 7,5 | 49 | 5,5 | 55 | 4,1 | | | | | | | | | | | | | | | |
| 160 M | 11 | 36 | 38/45 | 12,5 | 11 | 72 | 38/45 | 6,2 | | 7,5 | 74 | 38/45 | 6 | | 4 | 54 | 38/45 | 8,3 | | 42x110 | | |
| | 15 | 49 | | 9,1 | | | | 4,5 | 11 | | | | 108 | 4,1 | 7,5 | 100 | | 6 | 5,5 | | | 74 |
| 160 L | 18,5 | 60 | | 7,5 | | | | 15 | 98 | 4,1 | | | | | | | | | | | | |
| 180 M | 22 | 71 | 42/55 | 8,7 | 18,5 | 121 | | 42/55 | 5,1 | 15 | 148 | | 42/55 | 4,1 | 11 | 145 | | 42/55 | 4,2 | 48x110 | | |
| 180 L | | | | 22 | 144 | 4,3 | 15 | | 181 | | | 3,4 | | 15 | 198 | 3,1 | 55x110 | | | | | |
| 200 L | 30 | 97 | | 6,3 | 30 | 196 | 3,1 | | 18,5 | 215 | 2,8 | | | | | | | | | | | |
| | 37 | 120 | | 5,1 | | | | | | | | | | | | | | | | | | |
| 225 S | | | 48/60 | 37 | 240 | | 48/60 | 3 | 30 | 293 | 48/60 | | 18,5 | 244 | 48/60 | 2,9 | 55x110 | 60x140 | | | | |
| 225 M | 45 | 145 | | 4,2 | 45 | 292 | | 2,4 | | | | 30 | 293 | 2,4 | | 22 | | | 290 | 2,4 | | |
| 250 M | 55 | 177 | | 4 | 55 | 356 | | 2,4 | 37 | 361 | | 2,3 | 30 | 392 | | 65 | 2,6 | 60x140 | 65x140 | | | |
| 280 S | 75 | 241 | | 3,5 | 75 | 484 | | 5,1 | 45 | 438 | | 75 | 5,7 | 37 | | 483 | 75 | 5,1 | 65x140 | 75x140 | | |
| 280 M | 90 | 289 | 2,9 | 90 | 581 | 4,3 | 55 | 535 | 75 | 4,6 | 45 | 587 | 75 | 4,2 | | | | | | | | |
| 315 S | 110 | 353 | 75/90 | 2,4 | 110 | 707 | 75/90 | 3,5 | 75 | 727 | 75/90 | 3,4 | 55 | 712 | 75/90 | 3,5 | 65x140 | 80x170 | | | | |
| 315 M | 132 | 423 | | 5,9 | 132 | 849 | | 2,9 | 90 | 873 | | 75/90 | 2,8 | 75 | | 971 | | | 75/90 | 6,2 | | |
| 315 L | 160 | 513 | | 4,8 | 160 | 1030 | | 90/100 | 5,9 | 110 | | 1070 | 90 | 5,7 | | 90 | 1170 | 90 | 5,2 | 75x140 | 95x170 | |
| | 200 | 641 | | 3,9 | 200 | 1290 | | 90/100 | 4,7 | 132 | | 1280 | 90 | 4,7 | | 110 | 1420 | 90 | 4,2 | | | |
| 355 L | 250 | 801 | 3,1 | 250 | 1610 | 90/100 | 3,7 | 160 | 1550 | 90/100 | 3,9 | 132 | 1710 | 90/100 | 3,5 | 75x140 | 95x170 | | | | | |
| | | | | | | | 200 | 1930 | 90/100 | 3,1 | 160 | 2070 | 100 | 2,9 | | | | | | | | |
| 400 L | 315 | 1010 | 6 | 315 | 2020 | | 100 | 3 | 250 | 2420 | 100 | 2,5 | 200 | 2580 | 100 | 2,3 | 80x170 | 110x210 | | | | |
| | 355 | 1140 | 5,3 | 355 | 2280 | | 100 | 2,6 | 315 | 3040 | 100 | 2 | 250 | 3220 | 100 | 1,8 | | | | | | |
| | 400 | 1280 | 4,7 | 400 | 2560 | 100 | 2,3 | | | | | | | | | | | | | | | |

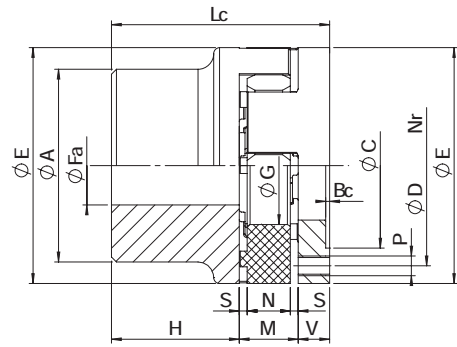
| | | |
|----------------|--------------------------------------|----|
| P _N | Nennleistung der Antriebsmaschine | kW |
| T _N | Nenn Drehmoment der Antriebsmaschine | Nm |
| K | Sicherheitsfaktor | |
| d x l | Abmessungen des Wellenendes | mm |

Ausführung "GRF C" mit Flanschanschluss

Die Ausführung GRF C hat dieselben Eigenschaften wie die Ausführung BF, ist jedoch kompakter.
Bohrungsdurchmesser gültig für Ausführung "P"



BFN



CFN

| Type | Fa min [mm] | Fa max [mm] | E [mm] | A [mm] | B [mm] | H [mm] | I [mm] | Lb [mm] | Lc [mm] | V [mm] | M [mm] | S [mm] | N [mm] | Bb [mm] | Bc [mm] | G [mm] | D [mm] | n | C [mm] | P [mm] |
|---------|-------------|-------------|--------|--------|--------|--------|--------|---------|---------|--------|--------|--------|--------|---------|---------|--------|--------|----|--------|--------|
| 24/32 | 8 | 24 | 55 | 40 | 36 | 30 | 22 | 86 | 56 | 8 | 18 | 2 | 14 | 31 | 1,5 | 27 | 45 | 8 | 36 | M5 |
| 28/38 | 10 | 28 | 65 | 48 | 42 | 35 | 25 | 100 | 65 | 10 | 20 | 2,5 | 15 | 36 | 1,5 | 30 | 54 | 8 | 44 | M6 |
| 38/45 | 12 | 38 | 80 | 66 | 52 | 45 | 35 | 124 | 79 | 10 | 24 | 3 | 18 | 46 | 1,5 | 38 | 66 | 8 | 54 | M8 |
| 42/55 | 14 | 42 | 95 | 75 | 62 | 50 | 38 | 138 | 88 | 12 | 26 | 3 | 20 | 51 | 2 | 46 | 80 | 12 | 65 | M8 |
| 48/60 | 15 | 48 | 105 | 85 | 70 | 56 | 44 | 152 | 96 | 12 | 28 | 3,5 | 21 | 57 | 2 | 51 | 90 | 12 | 75 | M8 |
| 55/70 | 20 | 55 | 120 | 98 | 80 | 65 | 49 | 176 | 111 | 16 | 30 | 4 | 22 | 66 | 2 | 60 | 102 | 8 | 84 | M10 |
| 65/75 | 22 | 65 | 135 | 115 | 94 | 75 | 59 | 201 | 126 | 16 | 35 | 4,5 | 26 | 76 | 2 | 68 | 116 | 12 | 96 | M10 |
| 75/90 | 30 | 75 | 160 | 135 | 108 | 85 | 66 | 229 | 144 | 19 | 40 | 5 | 30 | 87 | 2,5 | 80 | 136 | 15 | 112 | M12 |
| 90/100 | 40 | 90 | 200 | 160 | 142 | 100 | 80 | 265 | 165 | 20 | 45 | 5,5 | 34 | 102 | 3 | 100 | 172 | 15 | 145 | M16 |
| 100/110 | 45 | 115 | 225 | 180 | 158 | 110 | 85 | 295 | 185 | 25 | 50 | 6 | 38 | 112 | 4 | 113 | 195 | 15 | 165 | M16 |
| 110/125 | 55 | 125 | 255 | 200 | 178 | 120 | 94 | 321 | 201 | 26 | 55 | 6,5 | 42 | 122 | 4 | 127 | 218 | 15 | 180 | M20 |
| 125/145 | 55 | 145 | 290 | 230 | 206 | 140 | 110 | 370 | 230 | 30 | 60 | 7 | 46 | 142 | 5 | 147 | 252 | 15 | 215 | M20 |

Bohrungsdurchmesser gültig für Ausführung "P"

Bestellbezeichnung

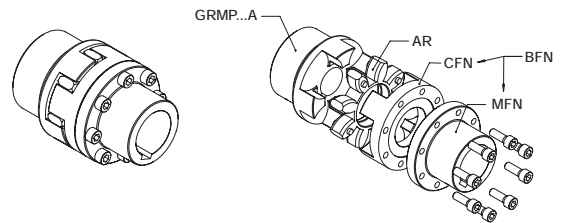
Ausführung "BFN" Hohlflansch wellenseitig
 Type
 GRFBFN 48

Für Nabe GR bitte unter TRASCO® GR Standardprogramm nachsehen.

Ausführung Ringflansch "BFN" und "CFN"
 Type
 GRFCFN 48

n Anzahl Schrauben

BFN



CFN

